

Table 2. Teeming conditions.

Ingots	Treaming atmosphere	Tapping temp.(°C)	Killing time	Treaming time	Treaming temp.(°C)
B E A C	Open air	1605	4'55"	15'15"	1524~1515
B E V C*	Vacuum	1642	7'10"	7'07"	1561~1555
A O A C	Open air	1580	30'51"	15'12"	1502~1490

* Hot tapping was aided by electric arc heating.

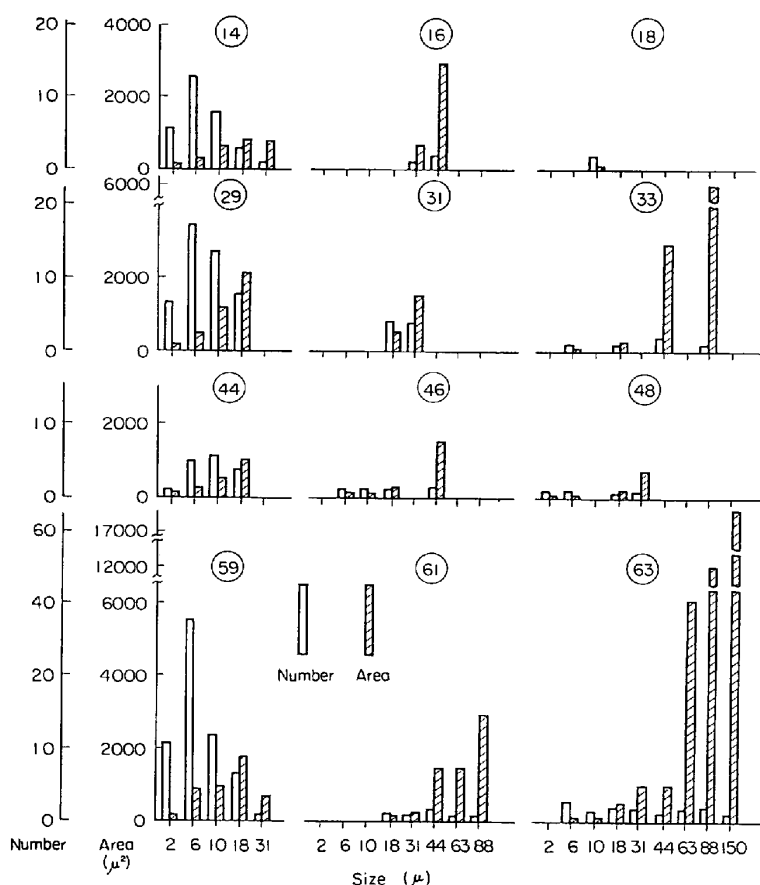


Fig. 4. Distribution of Type III inclusions in the AOAC steel ingot. (no. corresponds to the sampling position.)

また酸化物は BEAC および AOAC 鋳塊においては Type III が多く、BEVC 鋳塊では Type II が多い。これは酸化物相中の MnO 成分の量のちがいによるものと考えられる。すなわち温硝酸法による酸化物の定量結果において、BEVC 鋳塊では Al_2O_3 成分が 93% 以上をしめ、残りが SiO_2 成分であるのに対して、ほかの 2 鋳塊においては Al_2O_3 成分が非常に少なく 7~8% であり、MnO 成分が 20~30% も含まれておらず、残りがおもに SiO_2 成分である。また EPMA による個々の酸化物の分析結果においても大気铸造の 2 鋳塊では MnO 成分が多い。AOAC 鋳塊においてはほかの鋳塊にくらべて負偏析部の大型酸化物が多かつた。これは Table 2 に示したように注入温度が比較的低かつたことに起因するものと考えられる。また AOAC 鋳塊の大型酸化物は比較的低融点のものである。これが溶製条件などによく関連しているかをあきらかにするのは今後に残された問題であろう。

本実験における観察を継続して結果を集積し、

大型鋳塊内における介在物の分布状態を把握し、鋼の組成および凝固条件を適宜選択することにより、介在物の分布状態をある程度統御しうるようになるものと考えられる。

5. 結 言

1) 溶製方法および造塊条件のちがいによって各種介在物の分布傾向にはかなり差が認められる。負偏析部の酸化物の量におよぼす注入温度の影響はかなり大きいようである。

2) 真空铸造を適用することにより酸化物の量はかなり減少し、その形も結晶状のものが多くなる。

3) 硫化物の分布傾向も造塊条件によってかなりの影響をうける。

文 献

- 1) 菅野、成田、他：鉄と鋼、50 (1964), p. 1770

20t 炭素鋼鋳塊の凝固速度と鋳塊内部組織に関する 2,3 の所見*

(塩基性電弧炉および酸性平炉溶製の大型鍛鋼材に関する比較検討ならびに真空铸造に関する研究—IV)

神戸製鋼所中央研究所

理博、工博 成田 貴一・宮本 醇
小山 伸二・石井 輝雄

機械事業部 斎藤 千弓

Some Views of Freezing Rate and Internal Structure of 20t Carbon Steel Ingots

(Study on specifications of heavy steel forgings made by basic electric arc furnace and acid open hearth furnace as well as investigations on vacuum casting—IV)

Dr. Kiichi NARITA, Jun MIYAMOTO
Shinji KOYAMA, Teruo ISHII and Chiyumi SAITO

1. 緒 言

鋳塊の凝固速度あるいは凝固過程における鋳塊内部の温度変化を知ることは、内部組織の健全な鋳塊を造るためにの製造技術的な立場あるいは生産能率を上げるためにの生産工程管理の立場から考えても重要なことである。そのためには従来から種々の実測方法あるいは伝熱方程式

* 第73回講演大会にて発表 講演番号77 昭和42年5月25日受付

の数学的解析、図式解法あるいは数値解法などの方法がとられてきた。しかしながらこれらの方針によつてもかならずしも満足な結果はえられていない。一方最近の電子計算機の発達とともに、もつて鋳塊凝固時の温度変化の数値計算に電子計算機を利用した結果もいくつか報告されている^{1)~3)}。この方法はとくに実測の困難な大型鋳塊に對して有効な手段である。本報告では一次元の伝熱方程式にもとづいて 20 t 鋳造用鋳塊の凝固時の温度変化を計算し、凝固速度を求めた結果をかんたんに報告し、鋳塊内部組織について 2, 3 ての所見をのべる。

2. 計算方法

計算は熱伝導の偏微分方程式を差分方程式にかきかえておこなうのであるが、その差分表示にはいくつかの方法があるがここでは SARJANT と SLACK による方法⁴⁾をもちいた。計算の対象とした鋳塊は鋳造用の 20 t 16 角波型鋳塊であるが、それを円筒形で近似すると鋳塊の半径方向の熱伝導は(1)式で表わせる。

$$C \cdot \rho \frac{\partial \theta}{\partial t} = \frac{\partial}{\partial r} \left(K \frac{\partial \theta}{\partial r} \right) + \frac{K}{r} \frac{\partial \theta}{\partial r} \quad \dots \dots \dots (1)$$

ここで、 θ ：温度、 t ：時間、 r ：半径、 C ：比熱、 K ：熱伝導率、 ρ ：密度

C および K を温度の関数としてとり扱うために(2)式で示される特性温度 ϕ を導入する。(2)式の関係と比

$$\phi = \int_{\theta_d}^{\theta} (K/K_d) d\theta \quad \dots \dots \dots (2)$$

K_d ：ある任意温度 θ_d における熱伝導率、熱に関して $C = \partial H / \partial \theta$ (H ：含熱量) の関係式をもちいると(1)式は結局(3)式のようにかきかえられる。

$$\frac{\partial H}{\partial t} = \frac{K_d}{\rho} \left(\frac{\partial^2 \phi}{\partial r^2} + \frac{1}{r} \frac{\partial \phi}{\partial r} \right) \quad \dots \dots \dots (3)$$

この(3)式を(4)式に示した差分方程式で近似し、べつに $H - \theta$ および $\phi - \theta$ の関係を与えて数値計算をおこなう。

$$\frac{H_{n,t+\Delta t} - H_{n,t}}{\Delta t} = \frac{K_d}{\rho} \cdot \left\{ \left(\frac{\phi_{n+1,t} - 2\phi_{n,t} + \phi_{n-1,t}}{(\Delta r)^2} \right) + \frac{1}{r_n} \cdot \frac{\phi_{n+1,t} - \phi_{n-1,t}}{2\Delta r} \right\} \quad \dots \dots \dots (4)$$

ここで Δt ：時間分割、 Δr ：距離分割、 r_n ：距離座標の原点（鋳塊中心）から第 n 番目の格子点までの距離であり、サブスクリプト $n-1, n, n+1$ によって距離座標 r において隣りあつた 3 つの格子点での値を表わす。

初期条件：初期条件すなわち鋳込直後の鋳塊と鋳型の界面の温度は(5)式の関係から求める。

$$\delta\theta_s + \delta\theta_M = (\text{鋳込温度}) - (\text{鋳型の初期温度}) \quad \left. \begin{array}{l} \sqrt{\frac{K_M \cdot \tau}{C_M \cdot \rho_M}} \cdot \rho_M \cdot C_M \cdot \delta\theta_M = \sqrt{\frac{K_S \cdot \tau}{C_S \cdot \rho_S}} \cdot \\ \rho_S (C_S \cdot \delta\theta_S + L) \end{array} \right\} \quad (5)$$

ただし、 $\delta\theta_M$ ：鋳型と界面の温度の差、 $\delta\theta_S$ ：鋳込温度と界面の温度の差、 τ ： Δt よりも十分短い時間、 K_M, C_M, ρ_M ：鋳型の熱伝導率、比熱および密度、 K_S, C_S, ρ_S ：鋳塊の熱伝導率、比熱および密度、 L ：鋳塊の凝固潜熱。

境界条件：鋳塊と鋳型の境界ではいわゆる空隙が形成

されるまでは伝導による熱伝達を、空隙形成後はふく射による熱伝達を考えてそれぞれ(6)式および(7)式の関係をもちいる。

$$\left. \begin{array}{l} dH_M = C_M \cdot d\theta \\ dH_S = C_S \cdot d\theta \end{array} \right\} \quad \dots \dots \dots (6)$$

ただし、 H_M, H_S ：鋳型および鋳塊の含熱量

空隙形成後：

$$Q = q_S - q_M = \sigma \cdot \frac{\epsilon_M \cdot \epsilon_S}{\epsilon_M + \epsilon_S - \epsilon_M \cdot \epsilon_S} (T_S^4 - T_M^4) \quad \dots \dots \dots (7)$$

ただし、 Q ：界面における伝熱量、 σ ：Stefan 定数、 ϵ_M, ϵ_S ：鋳型および鋳塊面のふく射率、 T_S, T_M ：鋳塊表面および鋳型内面の絶対温度。

鋳型表面から周囲へは空気の対流による熱伝達とふく射による熱伝達とを考えて(8)式の関係をもちいる。

$$W = \alpha_a (\theta_M - \theta_a) + \sigma \cdot \epsilon_M (T_M^4 - T_a^4) \quad \dots \dots \dots (8)$$

ただし、 W ：鋳型表面から周囲への伝熱量、 $\theta_M (T_M)$ 、 $\theta_a (T_a)$ ：鋳型表面および周囲の温度（絶対温度）、 α_a ：自然対流による熱伝達係数であり、鋳型を長い円筒とみなすとつきの式で与えられる。

$$\alpha_a = 1.1 \{(\theta_M - \theta_a)/D\}^{0.25} \quad \dots \dots \dots (9)$$

ただし、 D ：鋳型の外径、 α_a ：(kcal/m²·hr·°C)

計算に際しては K および C は温度の関数として、 ρ は定数としてとり扱つた。時間分割 $\Delta t = 2$ min、距離分割 Δr は鋳塊ではおおよそ 65~70 mm とし、鋳型では 68~80 mm とした。なお鋳型内溶鋼の対流はないものとして計算をおこなつた。

3. 計算結果および検討

計算に必要な諸物性値が比較的よく与えられている 1%Cr-0.5%Mo 鋼を対象として 20 t 鋳塊について、鋳込温度、鋳型温度、鋳型壁厚および鋳塊と鋳型間の空隙形成時間を 2・3 変えてまず計算をおこなつた。鋳塊および鋳型の温度変化の 1 例を Fig. 1 に示す。ここで問題になるのは鋳込後数分経過すれば瞬間に空隙ができるがつて鋳塊と鋳型境界での伝熱量が不連続に変化すると言っているので空隙形成直後に鋳塊表面の温度は急速に上がり、鋳型内面の温度は急速に下がつていることである。20 t 程度の大型鋳塊において鋳込後数分程度で瞬間に空隙ができると考えることには問題があり、実際には何分間にわたりてじよじよに空隙がひろがり、したがつてその間の伝熱量もほぼ連続的に変化すると考えるのが妥当であろう。ただ空隙形成時間をたとえば 4 min から 10 min 程度に変えて凝固時間あるいは鋳込後ある程度時間が経過したものの温度変化にはあまり大きな変化はない。したがつて、たとえば鋳込条件のような因子の影響を比較する場合には空隙形成時間をかんたんに仮定してもさしつかえないと考えられる。また従来より溶鋼の過熱度（鋳込温度 - 液相線温度の差）は対流などにより鋳込後比較的短時間でなくなるといわれているが、本計算では対流を考えていないので比較的に長時間まで溶鋼内部の温度は高いままである。ただ実際の鋳塊で押湯の保温あるいは押湯加熱をおこなつて場合にはたとえ対流があるとしても熱的には凝固時の温度変化に対する過熱度の影響を考慮しておく必要がある。

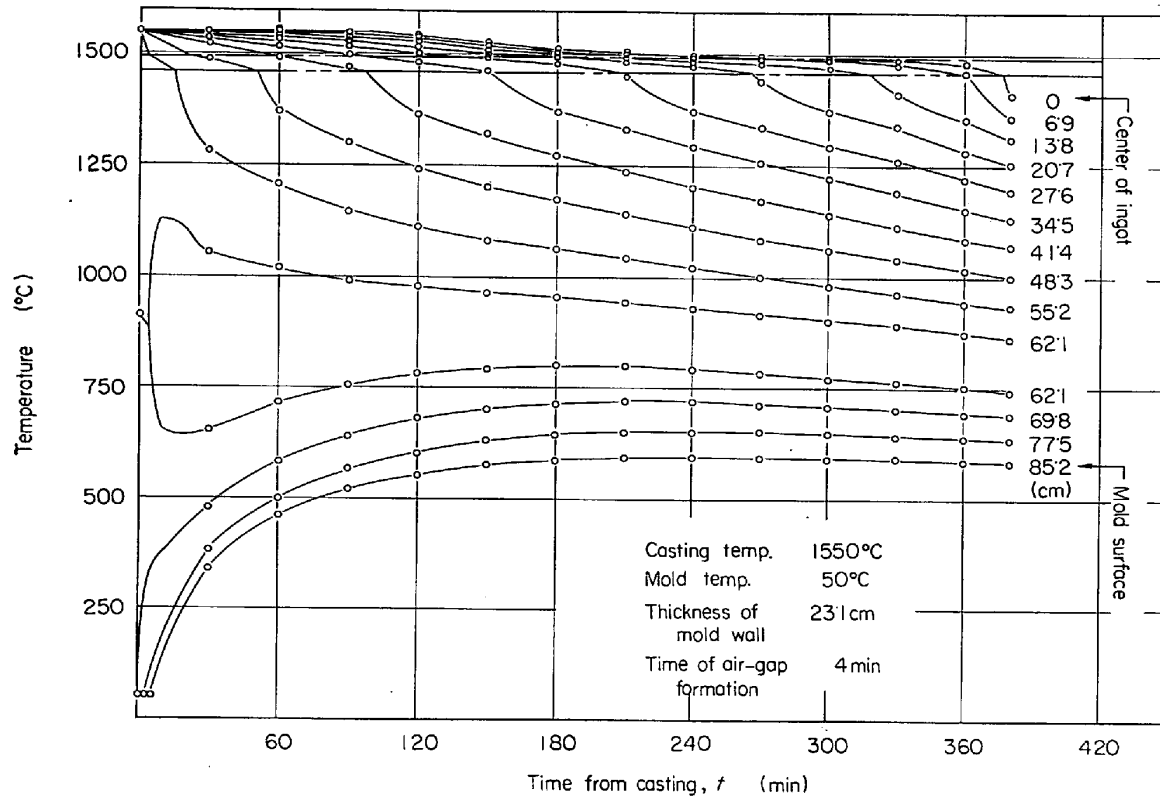


Fig. 1. Temperature variation at different parts in ingot and mold during solidification.

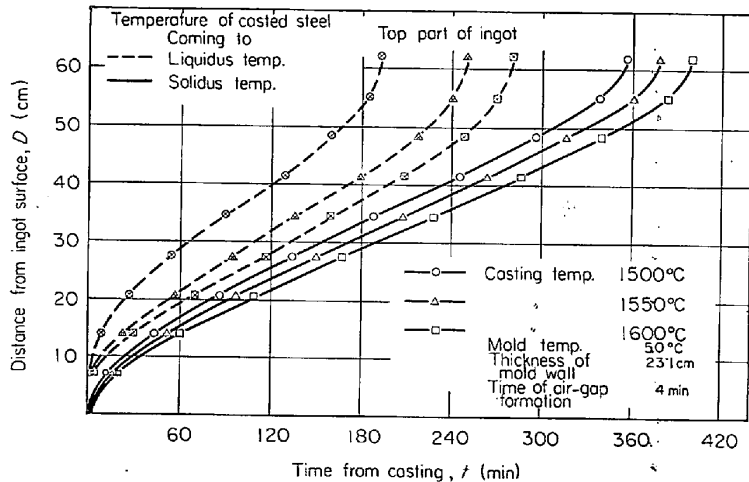


Fig. 2. Solidification curve of 20ton Cr-Mo steel ingot.

Fig. 1 に示した結果より鉄塊内の各位置の温度が液相線温度ならびに固相線温度に達する時間を求めるとき Fig. 2 に示す結果がえられる。同図には鉄込温度を変えた場合の結果をあわせて示してある。ここで固相線温度に達した時点を凝固が完了した時間とみなすと、凝固式 $D = a \cdot \sqrt{t}$ の関係が成立するのは $D = 15 \sim 20$ cm の位置までであり、それ以後は凝固が速くなり D と t との関係はむしろ直線関係に近くなる。そして鉄塊中心近くでさらに凝固が加速される。実際の鉄塊で底部側からの凝固を考慮すると同図の凝固曲線の後半部ではさらに凝固が加速されると考えられるが、すくなくとも前半部はこの半径方向の凝固が優先すると考えられる。また鉄込後かなり早い時期から鉄塊内のかなり広い範囲にわたって液相と

固相とが共存する状態、いわゆる mushy state が存在することがうかがえる。一方液相線ならびに固相線温度に達する時間は、たとえば鉄型の初期温度を 50°C から 100°C に変えた場合には 1~5 min 程度遅くなり、鉄型の壁厚を 23.1 cm から 30.8 cm に変えた場合には 1~10 min 程度早くなり、空隙形成時間を 4 min から 10 min に変えた場合で 1~7 min 程度早くなる。いずれの因子の影響もかなり大巾に変えないかぎりそれ程大きなものではないことがわかる。実操業の造塊条件において変えうる範囲を考慮した場合に熱的な意味で鉄塊の凝固にもつとも影響を与えるのは鉄込温度であると考えられる。さきに述べたように、鉄型内の溶鋼中に対流が存在するとしても押湯の保温あるいは加熱をおこなっている場合にはこの鉄込温度の影響は無視できない。

さて前報⁵⁾において鍛造用 20 t 炭素鋼 (S 45 C) 鉄塊について塩基性電弧炉溶製の大気中鍛造鉄塊 (BEA C 鉄塊) および真空鍛造鉄塊 (BEVC 鉄塊) ならびに酸性平炉溶製の大気中鍛造鉄塊 (AOAC 鉄塊) の内部性状の比較をおこなつたが、この 3 鉄塊の造塊条件でとくに相異していたのは鉄込温度であった。この点を考慮して鉄塊の凝固曲線を求めた結果を Fig. 3 に示す。この結果より鉄塊内各位置において液相線と固相線間の温度範囲 (液相と固相とが共存する範囲) に滞留する時間を求めると Fig. 4 に示したとおりである。ここでは半径方向の伝熱のみを考えているので実際の鉄塊の中心部付近ではこの結果とは異なるであろうが、いずれにして

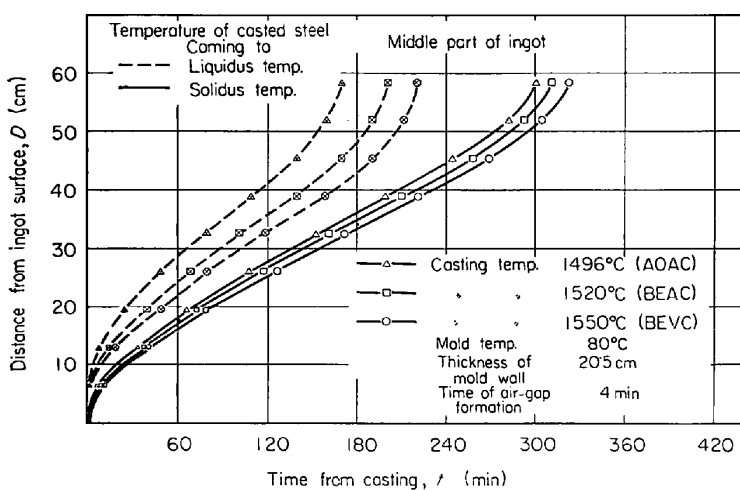


Fig. 3. Solidification curve of 20ton carbon steel ingot.

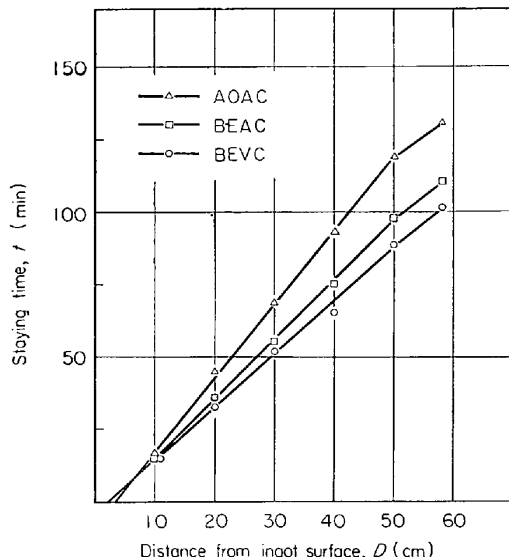


Fig. 4. Staying time of casted steel in temperature range between liquidus and solidus line.

も鋳込温度の低い A O A C 鋳塊では鋳塊表面部付近から mushy state になる時間が長いと考えられる。これは鋳込温度が低いと凝固の開始は早くなり、それにともなう凝固潜熱の発生によって凝固の完了が相対的に遅れてくることに原因するものと考えられる。一方鋳塊内部組織の観察結果ではいわゆる等軸晶域の占める割合は A O A C 鋳塊が最も大きく、ついで B E V C 鋳塊、 B E A C 鋳塊の順に小さくなっている。それとともに逆V偏析も A O A C 鋳塊では鋳塊のより表面部付近から存在することが認められている。このことは現象的には鋳込温度が低い場合に mushy state の存在範囲が広がることに原因するものと考えられる。また鋳込温度のみの影響で考えると B E A C 鋳塊と B E V C 鋳塊とでは現象が逆になつているが、これは B E A C 鋳塊では平均して S 量が 0.021%， P 量が 0.048% でありほかの 2 鋳塊にくらべてほぼ倍程度であることに原因するものと考えられる。等軸晶の生成機構についてはまだ明らかでなく、いわゆる組成的過冷却現象にもとづく説明も定性的なものにする

ぎず、やはり問題が残る。とくに大型鋳塊では結晶核生成の問題はあるけれども結晶の沈降現象も否定することはできないと考えられる。いずれにしてもいわゆる mushy state の性状を明らかにすることがまず必要であろう。

4. 結 言

一次元の熱伝導方程式にもとづいて鋳塊の凝固時の温度変化ならびに凝固速度を計算した。その結果実操業時の造塊条件の変えうる範囲を考慮した場合に、熱移動の立場からは鋳塊の凝固に対して鋳込温度の影響がもつとも大きいと考えられる。

さきに報告した 20 t 炭素鋼鉄塊の内部組織については鉄込温度の相異による影響が重要であることを示した。

文 献

- 1) 千原, 田岡: 日本鋼管技報, 22 (1961), p. 246
 - 2) J. SCHNIEWIND: J. Iron & Steel Inst.(U.K.), 201 (1963), p. 594
 - 3) J. G. HENZEL JR and J. KEVERIAN: J. of Metals, 17 (1965), p. 561
 - 4) R. J. SARJANT and M. R. SLACK: J. Iron & Steel Inst. (U.K.), 177 (1954), p. 428
 - 5) 菅野, 成田, 宮本, 小山, 長谷場, 鈴木: 鉄と鋼, 50 (1964); p. 1770

転炉炉内測温と分析による吹止温度、C 制御について*

神戸製鋼、尼崎工場

藤井 成美・林 正照

On the End Point Temperature and Carbon Control with Dropping Thermocouple and Carbon Detector in the Molten Bath of L. D. Converter during Blowing

Shigeyoshi FUJII and Masateru HAYASHI

1. 緒 言

1963年2月尼崎工場の30t純酸素転炉に富士通製コンピューター、FIDAP-400A(第1号機)が入荷し、その後1カ年にわたる試運転期間を経、転炉操業実績の集積と解析に努め、現在吹止温度、Cの予測計算制御を実施中でその概要は一部既報のとおりである¹⁾。

現在吹止温度、Cの計算制御のために採用されている数式モデルの基本式は(1)式のとおりで、これは1963年に開発された「現、前鋼番操業変数の差の導入によって計測値、未計測値の誤差を自動的に消去する方式」として著しい成果を示している²⁾。

当工場ではこの他に炉の特性、操業の諸条件を考慮し「現、前鋼番入力値の重みを必ずしも一定としない(2)式」も採用して予測精度の向上に努力しているが、なお

* 第73回講演大会にて発表 講演番号84 昭和42年5月10日受付